

С. К. ГОДУНОВ

**НОРМЫ РЕШЕНИЙ  
МАТРИЧНЫХ УРАВНЕНИЙ ЛУРЬЕ — РИККАТИ  
КАК КРИТЕРИИ КАЧЕСТВА СТАБИЛИЗИРУЕМОСТИ  
И ДЕТЕКТИРУЕМОСТИ**

**ВВЕДЕНИЕ**

Эта работа содержит дальнейшее развитие соображений, высказанных в [1]. Там в качестве критериев стабилизируемости, детектируемости, управляемости и наблюдаемости было предложено использовать константы, участвующие в оценках матрицы Грина и в оценках типа Лопатинского решений краевых задач на полупрямой для гамильтоновой системы, с помощью которой строится оптимальное управление или наблюдение. На самом деле оценки влияния граничных условий в этих краевых задачах не являются независимыми от оценок матрицы Грина. В свою очередь, матрица Грина допускает оценку через норму решения матричного алгебраического уравнения Лурье — Риккати. Это решение участвует в формуле для обратной связи в оптимальном управлении. Чем норма решения больше, тем более сильную обратную связь приходится использовать. Эти обстоятельства и послужили причиной того, что вместо предложенных в [1] довольно громоздких критериев, характеризующих качество стабилизируемости (детектируемости, управляемости, наблюдаемости), в настоящей работе предлагаются критерии, допускающие более прозрачную формулировку через безразмерную оценку нормы решения уравнения Лурье — Риккати.

Основное внимание мы уделяем изучению случая стабилизируемой пары  $(A, B)$  и получению оценок для гамильтоновой системы, образованной с помощью матриц, входящих в эту пару.

Исследование проводится с помощью широко распространенных приемов, но мы обращаем внимание на ряд новых обстоятельств, существенных для выработки предлагаемой концепции. Детектируемость пары  $(A, C)$ , как известно, эквивалентна стабилизируемости пары  $(A^*, C^*)$ . Это позволило нам лишь схематически остановиться на мотивировке предлагаемого критерия детектируемости (см. § 4). Управляемость и наблюдаемость пар  $(A, B)$  и соответственно  $(A, C)$  определяются как одновременная стабилизируемость пар  $(A, B)$ ,  $(-A, B)$  или  $(A^*, C^*)$ ,  $(-A^*, C^*)$ . § 3, в котором изучается решение специальной краевой задачи для гамильтоновой системы, носит в этой работе вспомогательный характер и предназначен для облегчения изложения в § 4.

Определение стабилизируемости и предлагаемая количественная характеристика стабилизируемости приведены в § 1 с использованием специальной формы уравнения Лурье — Риккати, образованной по матрицам  $A, B$ . § 2 посвящен детальному исследованию матрицы Грина гамильтоновой системы, естественным образом связанной с квадратным матричным уравнением Лурье — Риккати, введенным в § 1. Изучаются матрица Грина и разрешимость некоторых краевых задач для гамильтоновой системы на полубесконечной прямой и на отрезке.

§ 4 содержит исследование специальной краевой задачи на конечном отрезке. Решение этой задачи может быть использовано при приближен-

ном вычислении матрицы Грина гамильтоновой системы. Для этого крайняя задача для дифференциальных уравнений заменяется эквивалентной ей разностной, т. е. системой линейных алгебраических уравнений. Обусловленность решений этой системы оценивается с помощью изученных в § 2 свойств матрицы Грина через введенную в § 3 количественную характеристику стабилизируемости (или детектируемости). Вычислив матрицу Грина, можно с помощью ее элементов составить другую линейную систему, обусловленность которой также оценивается через ту же самую характеристику, а решение совпадает с решением уравнения Лурье — Риккати. В качестве алгоритма решения разностных уравнений для матрицы Грина удобно использовать модификацию предложенного А. Н. Малышевым [2, 3] варианта быстро сходящегося и широко распространенного метода матричной сигнум-функции (см. [4—6]).

Исследование алгоритма в § 5 несколько отличается от описанного в [3], так как нам удобно использовать другую нормировку уравнений разностной системы и связать обусловленность этой системы и скорость сходимости алгоритма непосредственно с числовой характеристикой стабилизируемости. В результате выясняется, что вычислительный процесс можно организовать так, что он безотказно приводит либо к положительно определенному решению матричного уравнения Лурье — Риккати, либо к строго доказанному утверждению о том, что это решение или имеет слишком большую норму (очень плохая стабилизируемость), или вообще не существует. Тем самым обосновывается вычислимость введенных характеристик матричных пар, участвующих в описании изучаемых линейных стационарных систем. С помощью алгоритма, описанного в § 5, можно, конечно, решать и матричные уравнения Лурье — Риккати общего вида. Как известно, для получения положительно определенных решений на матричные уравнения пары  $(A, B)$ ;  $(A, C)$ , участвующие в формулировке уравнения

$$HA + A^*N + C^*FC - HBGB^*N = 0$$

с положительно определенными  $F, G$ , должны быть наложены ограничения. Например, при наблюдаемой паре  $(A, C)$  надо потребовать стабилизируемости от пары  $(A, B)$ . Использование введенных в настоящей работе критериев для оценки скорости сходимости алгоритма и числа обусловленности положительно определенного решения  $H$  должно быть предметом дальнейших исследований. Идея сформулировать критерий разрешимости матричного уравнения с использованием нормы его решения возникла в работах [11, 12], посвященных устойчивости решений дифференциальных уравнений. При этом возникла необходимость связать норму решения матричного уравнения Ляпунова с «качеством устойчивости», введенным в [11] и допускающим наглядную интерпретацию, удобную для использования в приложениях.

Цель предлагаемого ниже исследования состоит в применении той же идеи к другому, широко распространенному в теории управления, классу матричных уравнений. При этом делается попытка предложить критерий с прозрачным для прикладников смыслом, который в то же самое время может быть использован и для оценки обусловленности решения, и для анализа сходимости итераций в вычислительной процедуре решения уравнения Лурье — Риккати.

Я благодарен А. Я. Булгакову и А. Н. Малышеву за ценные дискуссии в процессе постановки задачи и при написании этой работы.

## § 1. СТАБИЛИЗИРУЕМОСТЬ

Общепринято пару матриц  $(A, B)$  называть стабилизируемой, если для любого  $x(0)$  существует такое управление  $u(t)$  в системе, описываемой векторным дифференциальным уравнением:

$$\frac{d}{dt} x(t) = Ax(t) + Bu(t), \quad (1.1)$$

что при этом управлении  $x(t) \rightarrow 0$ ,  $u(t) \rightarrow 0$  при  $t \rightarrow \infty$ . Среди стабилизирующих управлений, если они существуют, имеется единственное оптимальное, которое доставляет минимум интегральному функционалу

$$J = 2 \|A\| \int_0^{\infty} [\|x(t)\|^2 + \|Bu(t)\|^2] dt. \quad (1.2)$$

Хорошо известно (см. [7]), что оптимальное управление имеет вид обратной связи:

$$u(t) = -(B^*B)^{-1}B^*\Lambda x(t) \quad (1.3)$$

с постоянной симметрической положительно определенной матрицей  $\Lambda = \Lambda^* > 0$ . При этом  $J_{\min} = (\Lambda x(0), x(0))$ , а матрица  $\Lambda$  является единственным неотрицательно определенным решением матричного уравнения Лурье — Риккати

$$\Lambda A + A^*\Lambda + 2\|A\| [I - \Lambda B(B^*B)^{-1}B^*\Lambda] = 0. \quad (1.4)$$

Если это уравнение не имеет положительно определенных решений, то пара  $(A, B)$  стабилизируемой не является.

Предлагается выбрать  $\|A\|$  в качестве параметра, характеризующего стабилизируемость системы (1.1) или, короче, стабилизируемость пары  $(A, B)$ . Если (1.4) не имеет положительно определенных решений, то мы будем полагать  $\|A\| = \infty$ .

Выбранные в (1.1) и (1.4) нормировки обеспечивают безразмерность критерия  $\|A\|$ . Как  $\Lambda$ , так и  $\|A\|$  не изменяются, если  $A$  умножить на какой-либо положительный скалярный множитель и если заменить  $B$  на другую матрицу так, чтобы линейные оболочки столбцов исходной  $B$  и этой другой матрицы совпадали. Будет доказана

**Теорема 1.** При оптимальном управлении (1.3) для решения уравнения (1.1) имеет место оценка

$$\|x(t)\| \leq \|A\| \sqrt{2 \left(1 + \frac{1}{2\|A\|}\right)} e^{-\frac{\|A\|}{\|A\|} t} \|x(0)\|. \quad (1.5)$$

Из рассмотрения оценки (1.5) становится понятным предложение считать  $\|A\|$  характеристикой возможности стабилизации для (1.1). Чем больше  $\|A\|$ , тем «более сильную» обратную связь (1.3) приходится вводить и тем слабее затухание решения (его стабилизация), гарантируемое неравенством (1.5). Иными словами: чем меньше  $\|A\|$ , тем система (1.1) (или на общепринятом жаргоне, матричная пара  $(A, B)$ ) лучше стабилизируема.

Из теоремы 1 легко выводится

**Следствие 1.1.** Для любой стабилизируемой пары  $(A, B)$  справедливо неравенство  $\|A\| \geq \frac{1}{2}$ .

Действительно, так как (1.5) выполнено при всех неотрицательных  $t$ , то, положив  $t = 0$ , мы убедимся, что  $2\|A\|^2 + \|A\| \geq 1$  ( $(\|A\| + 1) \times (2\|A\| - 1) \geq 0$ ), откуда и следует, что  $\|A\| \geq \frac{1}{2}$ .

Справедливо также неравенство

$$\|A\| \geq \|\Lambda_0\| \geq \frac{1}{2}, \quad (1.6)$$

где  $\Lambda_0$  — положительно определенное решение уравнения

$$\Lambda_0 A + A^* \Lambda_0 + 2\|A\| [I - \Lambda_0^2] = 0. \quad (1.7)$$

Существование  $\Lambda_0$  обеспечивается тем, что матричная пара  $(A, I)$  всегда управляема. Для обоснования неравенства (1.6) достаточно заметить,

что, заменив в (1.1)  $B$  на  $I$ , т. е. уменьшив ограничения на допустимые управления, мы, тем самым, конечно, не увеличим  $\|\Lambda\|$ . Из (1.7) вытекают неравенства

$$\begin{aligned} 2\|A\| \cdot \|\Lambda_0\|^2 &\leq \|\Lambda_0\| \cdot \|A\| + \|A^*\| \cdot \|\Lambda_0\| + 2\|A\|, \\ \|\Lambda_0\|^2 &\leq \|\Lambda_0\| + 1, \end{aligned}$$

вследствие которых

$$\|\Lambda_0\| \leq \frac{1 + \sqrt{5}}{2}. \quad (1.8)$$

**Определение 1.** *Степень стабилизируемости матричной пары  $(A, B)$  мы будем называть безразмерное, не превышающее единицы, отношение*

$$\text{stab}[A, B] = \frac{\|\Lambda_0\|}{\|\Lambda\|} \leq 1. \quad (1.9)$$

Несколько огрубив (1.5), можно получить для траектории оптимального стабилизирующего управления оценку

$$\|x(t)\|/\|x(0)\| \leq \frac{1 + \sqrt{5}}{\text{stab}[A, B]} \cdot e^{-\frac{2\|A\|\text{stab}[A, B]}{1 + \sqrt{5}}}. \quad (1.10)$$

Приступаем к доказательству теоремы 1.1. Переписав (1.4) в следующем виде:

$$\begin{aligned} \Lambda[A - 2\|A\|B(B^*B)^{-1}\Lambda] + [A - 2\|A\|B(B^*)^{-1}B^*\Lambda]^*\Lambda + \\ + 2\|A\|[I + \Lambda B(B^*B)^{-1}B^*\Lambda] = 0, \end{aligned} \quad (1.11)$$

по известным свойствам матричного уравнения Ляпунова пользуясь тем, что  $\Lambda > 0$ ,  $I + \Lambda B(B^*B)^{-1}B^*\Lambda \geq I > 0$ , устанавливаем гурвицевость матрицы

$$K = \|A\|^{-1}[A - 2\|A\|B(B^*B)^{-1}B^*\Lambda] \quad (1.12)$$

и интегральное представление решения  $\Lambda$ :

$$\Lambda = 2 \int_0^\infty e^{sK^*} [I + \Lambda B(B^*B)^{-1}B^*\Lambda] e^{sK} ds. \quad (1.13)$$

Так как

$$\begin{aligned} \|K\| &\leq 1 + 2\|\Lambda\|, \\ \|e^{sK}z\| &\geq e^{-s\|K\|} \|z\| \geq e^{-s(1+2\|\Lambda\|)} \|z\|, \\ \|e^{sK^*}\| &\geq e^{-s(1+2\|\Lambda\|)} \|z\|, \end{aligned} \quad (1.14)$$

то

$$(\Lambda x, x) \geq 2 \int_0^\infty e^{-2s(1+2\|\Lambda\|)} ds \|x\|^2 \geq \frac{\|x\|}{2\|\Lambda\| + 1},$$

и, следовательно:

$$\begin{aligned} \|\Lambda^{-1}\|^{-1} = \lambda_{\min}(\Lambda) &\geq \frac{1}{2\|\Lambda\| + 1}, \\ \|\Lambda^{-1}\| &\leq 2\|\Lambda\|(1 + 1/2\|\Lambda\|), \\ \mu(\Lambda) = \|\Lambda\| \cdot \|\Lambda^{-1}\| &\leq 2\|\Lambda\|^2 \left(1 + \frac{1}{2\|\Lambda\|}\right) \leq 4\|\Lambda\|^2. \end{aligned} \quad (1.15)$$

Вытекающее из (1.11) равенство

$$\Lambda K + K^*\Lambda = -2[I + \Lambda B(B^*B)^{-1}B^*\Lambda] \quad (1.16)$$

эквивалентно выполнению на решении  $z(s)$  дифференциального уравнения  $\frac{d}{ds} z(s) = Kz(s)$  тождества

$$\frac{d(\Lambda z, z)}{ds} + 2[(z, z) + (B^*B)^{-1}B^*\Lambda z, B^*\Lambda z] = 0,$$

следствием которого будут неравенства:

$$\frac{d(\Lambda z, z)}{ds} + 2(z, z) \leq 0,$$

$$\frac{d(\Lambda z, z)}{ds} + 2 \frac{(\Lambda z, z)}{\|\Lambda\|} \leq 0,$$

$$\|\Lambda^{-1}\|^{-1} \|z(s)\|^2 \leq (\Lambda z(s), z(s)) \leq e^{-\frac{2s}{\|\Lambda\|}} (\Lambda z(0), z(0)) \leq e^{-\frac{2s}{\|\Lambda\|}} \|\Lambda\| \cdot \|z(0)\|^2,$$

$$\|z(s)\| \leq \sqrt{\|\Lambda\| \cdot \|\Lambda^{-1}\|} \cdot e^{-\frac{s}{\|\Lambda\|}} \cdot \|z(0)\|.$$

Пользуясь (1.15), приходим к оценке

$$\|e^{sK}\| \leq \|\Lambda\| \sqrt{2 \left(1 + \frac{1}{2\|\Lambda\|}\right)} \cdot e^{-\frac{s}{\|\Lambda\|}} \quad (1.17)$$

и получаем для траектории  $x(t)$  при стабилизирующем управлении (1.3) неравенство (1.5). Как мы уже отмечали, оптимальность управления (1.3) обеспечивается уравнением (1.4) и неотрицательной определенностью  $\Lambda$ . Теорема доказана.

## § 2. ОЦЕНКИ МАТРИЦЫ ГРИНА ГАМИЛЬТОНОВЫХ УРАВНЕНИЙ

Как известно, построение оптимального стабилизирующего управления, о котором шла речь в предыдущем параграфе, сводится к решению некоторой краевой задачи на полупрямой для гамильтоновой системы

$$\begin{aligned} \frac{d}{dt} x &= Ax + 2\|A\| B (B^*B)^{-1} B^* \lambda, \\ \frac{d}{dt} \lambda &= 2\|A\| x - A^* \lambda, \end{aligned} \quad (2.1)$$

матрицу коэффициентов которой мы будем обозначать через  $\mathcal{H}$ :

$$\mathcal{H} = \begin{bmatrix} A & 2\|A\| B (B^*B)^{-1} B^* \\ 2\|A\| I & -A^* \end{bmatrix}. \quad (2.2)$$

Укажем преобразование подобия, приводящее  $\mathcal{H}$  к каноническому клеточно-диагональному виду, и дадим оценки преобразующей матрицы.

Непосредственной выкладкой устанавливается, что:

$$\begin{bmatrix} I & \Lambda^{-1} \\ -\Lambda & I \end{bmatrix}^{-1} \begin{bmatrix} A & 2\|A\| B (B^*B)^{-1} B^* \\ 2\|A\| I & -A^* \end{bmatrix} \begin{bmatrix} I & \Lambda^{-1} \\ -\Lambda & I \end{bmatrix} = \begin{bmatrix} \tilde{A}_{11} & \tilde{A}_{12} \\ \tilde{A}_{21} & \tilde{A}_{22} \end{bmatrix},$$

где  $\tilde{A}_{11} = [A - 2\|A\| B (B^*B)^{-1} B^* \Lambda] - \frac{1}{2} \Lambda^{-1} \{\Lambda A + A^* \Lambda + 2\|A\| [I - \Lambda B (B^*B)^{-1} B^* \Lambda]\}$ ,

$$\begin{aligned} \tilde{A}_{12} &= 2\|A\| [B (B^*B)^{-1} B^* - \Lambda^{-2}] + \frac{1}{2} \Lambda^{-1} \{\Lambda A + A^* \Lambda + \\ &+ 2\|A\| [I - \Lambda B (B^*B)^{-1} B^* \Lambda]\} \Lambda^{-1}, \end{aligned}$$

$$A_{21} = \frac{1}{2} \{ \Lambda A + A^* \Lambda + 2 \|A\| [I - \Lambda B (B^* B)^{-1} B^* \Lambda] \},$$

$$\tilde{A}_{22} = - [A^* - 2 \|A\| \Lambda B (B^* B)^{-1} B^*] + \frac{1}{2} \{ \Lambda A + A^* \Lambda +$$

$$+ 2 \|A\| [I - \Lambda B (B^* B)^{-1} B^* \Lambda] \} \Lambda^{-1}.$$

В этих формулах фигурные скобки оказываются равными нулю, если  $\Lambda$  — решение уравнения Лурье — Риккати (1.4), что и будет в дальнейшем предполагаться. При этом предположении

$$\begin{bmatrix} I & \Lambda^{-1} \\ -\Lambda & I \end{bmatrix} \mathcal{H} \begin{bmatrix} I & \Lambda^{-1} \\ -\Lambda & I \end{bmatrix} = \|A\| \begin{bmatrix} K & 2B(B^*B)^{-1}B^*\Lambda - \Lambda^2 \\ 0 & -K^* \end{bmatrix}, \quad (2.3)$$

где (см. также (1.12)):

$$K = \frac{1}{\|A\|} A - 2B(B^*B)^{-1}B^*\Lambda. \quad (2.4)$$

Так как

$$\begin{bmatrix} I & R \\ 0 & I \end{bmatrix}^{-1} \begin{bmatrix} K & -[KR + RK^*] \\ 0 & -K^* \end{bmatrix} \begin{bmatrix} I & R \\ 0 & I \end{bmatrix} = \begin{bmatrix} K & 0 \\ 0 & -K^* \end{bmatrix},$$

то, выбрав в качестве  $R = R^*$  решение уравнения Ляпунова

$$KR + RK^* = 2\Lambda^{-2} - 2B(B^*B)^{-1}B^*, \quad (2.5)$$

однозначно разрешимого, так как  $K$  — гурвицева (см. § 1), и обозначив

$$\begin{bmatrix} I & \Lambda^{-1} \\ -\Lambda & I \end{bmatrix} \begin{bmatrix} I & R \\ 0 & I \end{bmatrix} = \begin{bmatrix} I & \Lambda^{-1} + R \\ -\Lambda & \Lambda(\Lambda^{-1} - R) \end{bmatrix} = W, \quad (2.6)$$

мы приходим к следующему каноническому представлению:

$$\mathcal{H} = \|A\| W \begin{bmatrix} K & 0 \\ 0 & -K^* \end{bmatrix} W^{-1}. \quad (2.7)$$

Будет доказано следующее утверждение.

**Теорема 2.1.** *Симметричные матрицы  $\Lambda^{-1} + R$ ,  $\Lambda^{-1} - R$  соответственно неотрицательно и строго положительно определены:*

$$\Lambda^{-1} + R \geq 0, \quad \Lambda^{-1} - R > 0,$$

вследствие чего (см. (1.15))

$$\|R\| \leq \|\Lambda^{-1}\| \leq 2\|\Lambda\| + 1. \quad (2.8)$$

Кроме того,

$$\|[\Lambda^{-1} - R]^{-1}\| \leq \|\Lambda\|^3 \left(1 + \frac{1}{2\|\Lambda\|}\right). \quad (2.9)$$

Оценки из этой теоремы используются при изучении матрицы Грина.

Матрица Грина  $G(t)$  гамильтоновой системы (2.1) — это стремящееся при  $t \rightarrow \pm \infty$  к нулю решение матричного дифференциального уравнения

$$\frac{d}{dt} G(t) = \mathcal{H}G(t) + \delta(t) \begin{pmatrix} I & 0 \\ 0 & I \end{pmatrix}. \quad (2.10)$$

Справедливо представление

$$G(t) = \begin{cases} W \begin{bmatrix} e^{\|A\|K} & 0 \\ 0 & 0 \end{bmatrix} W^{-1} & \text{при } t > 0, \\ W \begin{bmatrix} 0 & 0 \\ 0 & -e^{-\|A\|K^*} \end{bmatrix} W^{-1} & \text{при } t < 0, \end{cases}$$

которое после подстановки  $W$  из (2.6) принимает вид

$$G(t) = \begin{cases} \frac{1}{2} \begin{bmatrix} I \\ -\Lambda \end{bmatrix} e^{t\|\Lambda\|K} [(\Lambda^{-1} - R)\Lambda; -(\Lambda^{-1} + R)] & \text{при } t > 0, \\ \frac{1}{2} \begin{bmatrix} \Lambda^{-1} + R \\ \Lambda(\Lambda^{-1} - R) \end{bmatrix} e^{-t\|\Lambda\|K^*} [\Lambda; I] & \text{при } t < 0. \end{cases} \quad (2.11)$$

Теорема 2.2. Матрица Грина допускает следующую оценку:

$$\|G(t)\| \leq 2\sqrt{2}\|\Lambda\|^4 \left(1 + \frac{1}{\|\Lambda\|^2}\right) \left(1 + \frac{1}{2\|\Lambda\|}\right) e^{-\frac{t\|\Lambda\|}{\|\Lambda\|}}. \quad (2.12)$$

Из представления (2.11), в частности, следует, что если мы сумеем вычислить

$$G(-0) = \begin{bmatrix} G_{11}(-0) & G_{12}(-0) \\ G_{21}(-0) & G_{22}(-0) \end{bmatrix},$$

то, решив совместное, но переопределенное матричное уравнение

$$\mathfrak{G}_2 Y \equiv \begin{bmatrix} G_{12}(-0) \\ G_{22}(-0) \end{bmatrix} Y \equiv \begin{bmatrix} G_{11}(-0) \\ G_{21}(-0) \end{bmatrix} \equiv \mathfrak{G}_1, \quad (2.13)$$

мы в качестве решения получим  $Y = \Lambda$ . В процессе решения придется вычислить псевдообратную к составной прямоугольной матрице

$$\mathfrak{G}_2 = \begin{bmatrix} G_{12}(-0) \\ G_{22}(-0) \end{bmatrix} = - \begin{bmatrix} \frac{1}{2}(\Lambda^{-1} + R) \\ \frac{1}{2}\Lambda(\Lambda^{-1} - R) \end{bmatrix}.$$

Вычислимость этой псевдообратной при не слишком большой  $\|\Lambda\|$  следует из оценки числа обусловленности

$$\mu(\mathfrak{G}_2) \equiv \frac{\sigma_{\max}(\mathfrak{G}_2)}{\sigma_{\min}(\mathfrak{G}_2)} \leq 4\sqrt{2}\|\Lambda\|^4 \left(1 + \frac{1}{2\|\Lambda\|}\right). \quad (2.14)$$

Это неравенство без труда выводится из представления  $\mathfrak{G}_2$  в виде произведения

$$\mathfrak{G}_2 = \begin{bmatrix} \frac{1}{\sqrt{2}}I & 0 \\ 0 & \frac{1}{\sqrt{2}}\Lambda \end{bmatrix} \begin{bmatrix} \frac{1}{\sqrt{2}}I & -\frac{1}{\sqrt{2}}I \\ \frac{1}{\sqrt{2}}I & \frac{1}{\sqrt{2}}I \end{bmatrix} \begin{bmatrix} \Lambda^{-1}(\Lambda^{-2} + R^2)^{-\frac{1}{2}} \\ \dots \\ -R(\Lambda^{-2} + R^2)^{-\frac{1}{2}} \end{bmatrix} (\Lambda^{-2} + R^2)^{\frac{1}{2}},$$

в котором второй слева множитель — ортогональная матрица, а в прямоугольном третьем сомножителе все столбцы ортонормированы. При этом выводе будем опираться на неравенства (4.15) и (2.8), второе из которых содержится в еще не доказанной теореме 2.1. Очевидно, что

$$\begin{aligned} \mu(\mathfrak{G}_2) &\leq \mu \left( \begin{bmatrix} \frac{1}{\sqrt{2}}I & 0 \\ 0 & \frac{1}{\sqrt{2}}\Lambda \end{bmatrix} \right) \cdot \mu \left\{ [\Lambda^{-2} + R^2]^{\frac{1}{2}} \right\} \leq \max \{ \|\Lambda\| \|\Lambda^{-1}\|, \|\Lambda\|, \|\Lambda^{-1}\| \} \times \\ &\times \sqrt{(\|\Lambda^{-2}\| + \|R^2\|) \|\Lambda^2\|} \leq \sqrt{2\|\Lambda^{-1}\|^2 \|\Lambda\|^2} \cdot \max \{ \|\Lambda\|, \|\Lambda^{-1}\|, \|\Lambda\|, \|\Lambda^{-1}\| \} = \\ &= \sqrt{2}\|\Lambda^{-1}\| \|\Lambda\| \cdot \max \{ \|\Lambda\|, \|\Lambda^{-1}\|, \|\Lambda\|, \|\Lambda^{-1}\| \} \leq 4\sqrt{2}\|\Lambda\|^4 \left(1 + \frac{1}{2\|\Lambda\|}\right)^2. \end{aligned}$$

Таким образом, если нам удалось вычислить  $G(-0)$ , то, анализируя и решая, если это возможно, уравнение (2.13), мы либо установим, что оно

плохо обусловлено, т. е. получим гарантированное утверждение, что  $\|\Lambda\|$  очень велика, либо сумеем это  $\Lambda$  вычислить. В § 5 будет описан алгоритм расчета  $G(-0)$ , во время которого мы также или находим решение, или убеждаемся, что  $\|\Lambda\|$  велика.

Доказательство теоремы 2.1. Сначала заметим, что, умножив (1.4) для  $\Lambda$  справа и слева на  $\Lambda^{-1}$ , мы приведем его к виду

$$K\Lambda^{-1} + \Lambda^{-1}K^* = -2[\Lambda^{-2} + B(B^*B)^{-1}B^*]. \quad (2.15)$$

После этого, беря сумму и разность равенств (2.5), (2.15), получим уравнения Ляпунова для  $\Lambda^{-1} \pm R$ :

$$K(\Lambda^{-1} + R) + (\Lambda^{-1} + R)K^* = -4B(B^*B)^{-1}B^*, \quad (2.16)$$

$$K(\Lambda^{-1} - R) + (\Lambda^{-1} - R)K^* = -4\Lambda^{-2}. \quad (2.17)$$

Так как правая часть в (2.16) неположительно определена, а в (2.17) строго отрицательно определенная и, так как  $K$  — гурвицева, то по теореме Ляпунова  $\Lambda^{-1} + R \geq 0$ ,  $\Lambda^{-1} - R > 0$ , откуда и вытекает неравенство (2.8) теоремы. Чтобы обосновать неравенство (2.9), воспользуемся вытекающим из (2.17) интегральным представлением

$$([\Lambda^{-1} - R]z, z) = 4 \int_0^{\infty} (\Lambda^{-1} e^{sK^*} z, \Lambda^{-1} e^{sK} z) ds.$$

Так как (см. (2.4)):

$$\begin{aligned} \lambda_{\min}(\Lambda^{-1}) &= \|\Lambda\|^{-1}, \\ \|e^{sK^*} z\| &\geq e^{-s\|K\|} \|z\| \geq e^{-(1+2\|\Lambda\|)s} \|z\|, \\ ([\Lambda^{-1} - R]z, z) &\geq 4\|\Lambda\|^{-2} \int_0^{\infty} e^{-2(1+2\|\Lambda\|)s} ds \cdot \|z\|^2 = \frac{4}{2\|\Lambda\|^2(2\|\Lambda\|+1)} \|z\|^2 = \\ &= \frac{\|z\|^2}{\|\Lambda\|^3(1+1/2\|\Lambda\|)}. \end{aligned}$$

Отсюда непосредственно и вытекает неравенство (2.9). Теорема доказана.

Доказательство теоремы 2.2. Воспользуемся неравенствами (1.17), (1.15), (2.8):

$$\begin{aligned} \|e^{t\|A\|K}\| &\leq \sqrt{2}\|\Lambda\| \sqrt{1 + \frac{1}{2\|\Lambda\|}} e^{-\frac{t\|A\|}{\|\Lambda\|}}, \quad (t > 0), \\ \|e^{-t\|A\|K^*}\| &= \|e^{t\|A\|K^*}\| = \|e^{t\|A\|K}\| \leq \sqrt{2}\|\Lambda\| \sqrt{1 + \frac{1}{2\|\Lambda\|}} e^{-\frac{t\|A\|}{\|\Lambda\|}}, \quad (t < 0), \\ \|R\| &\leq \|\Lambda^{-1}\| \leq 2\|\Lambda\| \left(1 + \frac{1}{2\|\Lambda\|}\right), \\ \|\Lambda^{-1} + R\| &\leq 2\|\Lambda^{-1}\|, \quad \|\Lambda(\Lambda^{-1} - R)\| \leq 2\|\Lambda\| \cdot \|\Lambda^{-1}\| \end{aligned}$$

и применим их к представлению (2.14) матрицы Грина. Имеем

$$\begin{aligned} \|G(t)\| &\leq \frac{1}{2} \sqrt{1 + \|\Lambda\|^2} \cdot \|e^{t\|A\|K}\| \cdot 2\|\Lambda^{-1}\| \cdot \sqrt{1 + \|\Lambda\|^2} \leq \\ &\leq \|\Lambda^{-1}\| \cdot \|\Lambda\|^2 \left(1 + \frac{1}{\|\Lambda\|^2}\right) \sqrt{2}\|\Lambda\| \sqrt{1 + \frac{1}{2\|\Lambda\|}} \cdot e^{-\frac{|t\|\|A\|}{\|\Lambda\|}} \leq \\ &\leq 2\sqrt{2}\|\Lambda\|^4 \left(1 + \frac{1}{\|\Lambda\|^2}\right) \left(1 + \frac{1}{2\|\Lambda\|}\right)^{\frac{3}{2}} \cdot e^{-\frac{|t\|\|A\|}{\|\Lambda\|}}. \end{aligned}$$

Доказательство завершено.



Дополнение к теореме 2.2. В дальнейшем (см. § 5) нам наряду с  $G(t)$ , определенной при  $t \neq 0$ , придется еще рассматривать матрицу  $\tilde{G}(t) = G(t-0)$ , которая при  $t \neq 0$  совпадает с  $G(t)$ .

Для  $\tilde{G}(0) = G(-0)$  справедливо представление

$$\tilde{G}(0) = \begin{bmatrix} -\frac{1}{2}(\Lambda^{-1} + R)\Lambda & -\frac{1}{2}(\Lambda^{-1} + R) \\ -\frac{1}{2}\Lambda(\Lambda^{-1} - R)\Lambda & -\frac{1}{2}\Lambda(\Lambda^{-1} - R) \end{bmatrix} \quad (2.18)$$

и оценка

$$\|\tilde{G}(0)\| = \|G(-0)\| \leq 2\|\Lambda\|^3 \left(1 + \frac{1}{2\|\Lambda\|}\right) \left(1 + \frac{1}{\|\Lambda\|^2}\right), \quad (2.19)$$

обоснование которой основывается на тех же соображениях и неравенствах, что и оценка, составляющая содержание теоремы 2.2.

### § 3. КРАЕВЫЕ ЗАДАЧИ ДЛЯ ГАМИЛЬТОНОВОЙ СИСТЕМЫ

Переходим к изучению краевых задач для системы (см. (2.1)):

$$\frac{d}{dt} \begin{pmatrix} x \\ \lambda \end{pmatrix} = \begin{bmatrix} A & 2\|A\|B(B^*B)^{-1}B^* \\ 2\|A\|I & -A^* \end{bmatrix} \begin{pmatrix} x \\ \lambda \end{pmatrix} \quad (3.1)$$

на бесконечной полупрямой  $t \geq 0$  или  $t \leq T$ . Канонический вид (2.7) гамильтоновой матрицы  $\mathcal{H}$  позволяет установить, что ограниченное при  $t \rightarrow +\infty$  решение системы (3.1), принимающее при  $t=0$  заданное граничное значение  $x(0) = \varphi$ , существует, единственно и имеет вид

$$x(t) = e^{t\|A\|K}\varphi; \quad \lambda(t) = -\Lambda e^{t\|A\|K}\varphi. \quad (3.2)$$

Его векторные компоненты  $x(t)$ ,  $\lambda(t)$ , как это следует из (1.5), (1.17), удовлетворяют оценкам:

$$\begin{aligned} \|x(t)\| &\leq \sqrt{2}\|\Lambda\| \sqrt{1 + \frac{1}{2\|\Lambda\|}} e^{-\frac{t\|A\|}{\|\Lambda\|}} \cdot \|\varphi\|, \\ \|\lambda(t)\| &\leq \sqrt{2}\|\Lambda\|^2 \sqrt{1 + \frac{1}{2\|\Lambda\|}} e^{-\frac{t\|A\|}{\|\Lambda\|}} \cdot \|\varphi\|. \end{aligned} \quad (3.3)$$

Решение той же системы, ограниченное на полупрямой  $t \leq T$  и такое, что  $\lambda(T) = \psi$ , имеет вид

$$\begin{aligned} x(t) &= (\Lambda^{-1} + R) e^{(T-t)\|A\|K^*} (\Lambda^{-1} - R)^{-1} \Lambda^{-1} \psi, \\ \lambda(t) &= \Lambda (\Lambda^{-1} - R) e^{(T-t)\|A\|K^*} (\Lambda^{-1} - R)^{-1} \Lambda^{-1} \psi, \end{aligned} \quad (3.4)$$

и оценивается (см. (1.15), (2.8), (2.9)) следующим образом:

$$\begin{aligned} \|x(t)\| &\leq 8\sqrt{2}\|\Lambda\|^6 \left(1 + \frac{1}{2\|\Lambda\|}\right)^{\frac{7}{2}} e^{-\frac{(T-t)\|A\|}{\|\Lambda\|}} \cdot \|\psi\|, \\ \|\lambda(t)\| &\leq 8\sqrt{2}\|\Lambda\|^7 \left(1 + \frac{1}{2\|\Lambda\|}\right)^{\frac{7}{2}} e^{-\frac{(T-t)\|A\|}{\|\Lambda\|}} \cdot \|\psi\|. \end{aligned} \quad (3.5)$$

Следствием приведенных представлений и оценок является разрешимость при достаточно большом  $T$  краевой задачи для (3.1) на отрезке  $0 \leq t \leq T$  с граничными условиями  $x(0) = \varphi$ ,  $\lambda(T) = \psi$ .

Для нас особый интерес представляет задача с матричными неизвестными  $X(t)$ ,  $Y(t)$ , столбцы которых при  $0 \leq t \leq T$  удовлетворяют (3.1),

что эквивалентно уравнениям:

$$\begin{aligned} \frac{d}{dt} X(t) &= AX(t) + 2\|A\|B(B^*B)^{-1}B^*Y(t), \\ \frac{d}{dt} Y(t) &= 2\|A\|X(t) - A^*Y(t), \end{aligned} \quad (3.6)$$

а граничные условия имеют вид

$$X(0) = I, \quad Y(T) = 0. \quad (3.7)$$

Будем искать столбцы матриц  $X(t)$ ,  $Y(t)$  в виде линейных комбинаций решений, описываемых формулами (3.2), (3.5), т. е. воспользуемся представлениями:

$$\begin{aligned} X(t) &= e^{t\|A\|K}\Phi + (\Lambda^{-1} + R)e^{(T-t)\|A\|K^*}(\Lambda^{-1} - R)^{-1}\Lambda^{-1}F, \\ Y(t) &= -\Lambda e^{t\|A\|K}\Phi + \Lambda(\Lambda^{-1} - R)e^{(T-t)\|A\|K^*}(\Lambda^{-1} - R)^{-1}\Lambda^{-1}F. \end{aligned}$$

Из граничных условий (3.7) находим  $\Phi$ ,  $F$ :

$$\begin{aligned} \Phi &= [I + (\Lambda^{-1} + R)e^{T\|A\|K^*}(\Lambda^{-1} - R)^{-1}e^{T\|A\|K}]^{-1}, \\ F &= \Lambda e^{T\|A\|K} [I + (\Lambda^{-1} + R)e^{T\|A\|K^*}(\Lambda^{-1} - R)^{-1}e^{T\|A\|K}]^{-1} \end{aligned}$$

и определяем  $Y(0)$ :

$$\begin{aligned} Y(0) &= -\Lambda [I + (\Lambda^{-1} - R)e^{T\|A\|K^*}(\Lambda^{-1} - R)^{-1}e^{T\|A\|K}] \times \\ &\quad \times [I + (\Lambda^{-1} + R)e^{T\|A\|K^*}(\Lambda^{-1} - R)^{-1}e^{T\|A\|K}]^{-1} = \\ &= -\Lambda + 2e^{T\|A\|K^*} [(\Lambda^{-1} - R) + e^{T\|A\|K}(\Lambda^{-1} + R)e^{T\|A\|K^*}]^{-1} e^{T\|A\|K}. \end{aligned} \quad (3.8)$$

Важно, что из (3.8) следует симметричность  $Y(0)$  ( $Y(0) = Y^*(0)$ ).

Заметим, что выражение для  $\Phi$  допускает еще и следующую запись:

$$\Phi = e^{-T\|A\|K}(\Lambda^{-1} - R) \{(\Lambda^{-1} - R) + e^{T\|A\|K}(\Lambda^{-1} + R)e^{T\|A\|K^*}\}^{-1} e^{T\|A\|K}.$$

Напомним, что согласно теореме 2.1  $\Lambda^{-1} - R$  строго положительно, а  $\Lambda^{-1} + R$  неотрицательно определены, из чего следует строгая положительная определенность и обратимость выражения в фигурной скобке. Поэтому  $\Phi$ ,  $F$ ,  $Y(0)$  однозначно определяются при всех  $T > 0$ , а не только достаточно больших. Из (3.8) и (1.17) следует, что при  $T\|A\| \rightarrow \infty$  матрица  $Y(0)$  стремится к  $-\Lambda$ . Тем самым доказана теорема.

**Теорема 3.1.** *Краевая задача (3.6), (3.7) при любом  $T$  однозначно разрешима. При увеличении  $T$  до бесконечности матрица  $Y(0)$  стремится к  $-\Lambda$ .*

На основании этой теоремы решение краевой задачи (3.6), (3.7) может быть использовано для приближенного вычисления решения  $\Lambda$  матричного уравнения (1.4), но мы в дальнейшем предложим для этого другой путь. Здесь мы подробно изучаем краевую задачу (3.6), (3.7) с другой целью. Она будет сведена к решению нелинейного матричного дифференциального уравнения, которое после смены обозначений окажется уравнением, описывающим фильтр Калмана — Бюсси. Свойства такого фильтра найдут применение в следующем параграфе при определении понятия детектируемой матричной пары.

Займемся пока детальным изучением зависимости  $Y(0) \equiv Y(0, T)$  от длины отрезка  $T$ , на котором поставлена задача (3.6), (3.7).

Из матричного уравнения (2.17) вытекает представление его решения  $\Lambda^{-1} - R$  в виде интеграла

$$\Lambda^{-1} - R = 4\|A\| \int_0^\infty e^{t\|A\|K} \Lambda^{-2} e^{t\|A\|K^*} dt. \quad (3.9)$$

Из этого представления

$$\begin{aligned} e^{-T\|A\|K}(\Lambda^{-1} - R)e^{-T\|A\|K^*} &= 4\|A\| \int_0^\infty e^{(t-T)\|A\|K} \Lambda^{-2} e^{(t-T)\|A\|K^*} dt = \\ &= 4\|A\| \int_{-T}^\infty e^{t\|A\|K} \Lambda^{-2} e^{t\|A\|K^*} dt = (\Lambda^{-1} - R) + 4\|A\| \int_{-T}^0 e^{t\|A\|K} \Lambda^{-2} e^{t\|A\|K^*} dt. \end{aligned}$$

Отсюда

$$\begin{aligned} e^{-T\|A\|K}(\Lambda^{-1} - R)e^{-T\|A\|K^*} &> (\Lambda^{-1} - R), \\ \frac{1}{2} [e^{-T\|A\|K}(\Lambda^{-1} - R)e^{-T\|A\|K^*} + (\Lambda^{-1} + R)] &> \\ &> \frac{1}{2} [(\Lambda^{-1} - R) + (\Lambda^{-1} + R)] = \Lambda^{-1}. \end{aligned}$$

Мы пишем в этих неравенствах  $S_2 > S_1$ , если симметричные  $S_1, S_2$  таковы, что  $S_2 - S_1$  строго положительно определена. Как известно, если  $S_1, S_2$  — строго положительно определенные и если, к тому же,  $S_2 > S_1$ , то  $S_2^{-1} < S_1^{-1}$  (см., например, [8, гл. 2, § 47]). Поэтому

$$\Lambda > 2 [e^{-T\|A\|K}(\Lambda^{-1} - R)e^{-T\|A\|K^*} + (\Lambda^{-1} + R)]^{-1}, \quad (3.10)$$

вследствие чего  $Y(0) \equiv Y(0, T)$  в (3.8) строго отрицательно определенная матрица при  $T > 0$ . (При  $T = 0$  правая часть формулы (3.8) для  $Y(0)$ , очевидно, обращается в нуль.) Отметим еще, что матрица в правой части неравенства (3.10) с ростом  $T$  строго убывает. Точнее: если  $T_2 > T_1$ , то разность

$$\begin{aligned} S_1^{-1} - S_2^{-1} &= 2 [e^{-T_1\|A\|K}(\Lambda^{-1} - R)e^{-T_1\|A\|K^*} + (\Lambda^{-1} + R)]^{-1} - \\ &- 2 [e^{-T_2\|A\|K}(\Lambda^{-1} - R)e^{-T_2\|A\|K^*} + (\Lambda^{-1} + R)]^{-1} \end{aligned}$$

строго положительно определена, что вытекает из строгой положительной определенности  $S_2 - S_1$ :

$$S_2 - S_1 = 2\|A\| \int_{-T_2}^{-T_1} e^{t\|A\|K} \Lambda^{-2} e^{t\|A\|K^*} dt > 0.$$

Итак, доказана

**Теорема 3.2.** *Матричная функция  $Y(0, T)$  числового аргумента  $T (T \geq 0)$  такова, что*

$$\begin{aligned} Y(0, 0) &= 0, \quad Y(0, T) \rightarrow -\Lambda \text{ при } T \rightarrow +\infty, \\ Y(0, T_1) &> Y(0, T_2) \text{ при } T_2 > T_1. \end{aligned}$$

Выведем дифференциальное уравнение, которому удовлетворяет  $Y(0, T)$ . Во-первых, отметим, что из приведенных представлений  $X(t)$ ,  $\Phi, F$  может быть выведена формула

$$\begin{aligned} X(t) &= [e^{(t-T)\|A\|K}(\Lambda^{-1} - R)e^{(t-T)\|A\|K^*} + (\Lambda^{-1} + R)] e^{-t\|A\|K^*} \times \\ &\times [e^{-T\|A\|K} \Lambda^{-1} (\Lambda^{-1} - R)e^{-T\|A\|K^*} + (\Lambda^{-1} + R)^{-1}], \end{aligned}$$

в которой обе квадратные скобки являются строго положительно определенными. Поэтому при всех  $t$  из отрезка  $[0, T]$  матрица  $X(t)$  обратима. Пользуясь первым равенством в (3.6), найдем для производной от  $X^{-1}(t)$  выражение

$$\frac{d}{dt} [X^{-1}(t)] = X^{-1} \left[ \frac{d}{dt} X \right] X^{-1} = -X^{-1}A - 2\|A\| X^{-1}B(B^*B)^{-1}B^*YX^{-1},$$

которое вместе со вторым равенством в (3.6) приводит к выполненному при  $0 \leq t \leq T$  уравнению для  $Y(t)X^{-1}(t) \equiv Y(t, T)X^{-1}(t, T)$ :

$$\begin{aligned} \frac{d}{dt} [YX^{-1}] &= -A^* [YX^{-1}] - [YX^{-1}] A + \\ &+ 2\|A\| \{I - [YX^{-1}] B (B^*B)^{-1} B^* [YX^{-1}]\}. \end{aligned}$$

Из граничных условий (3.7) следует, что

$$[Y(0, T) \cdot X^{-1}(0, T)] = Y(0, T); [Y(T, T)X^{-1}(T, T)] = 0.$$

Сделав замену переменных  $t' = T - t$  и обозначив  $H(t') = -Y(t, T) \times X^{-1}(t, T)$ , так что

$$H(T) = -Y(0, T)X^{-1}(0, T) = -Y(0, T),$$

мы приходим к уравнению

$$\frac{d}{dt} H(T) = HA + A^*H + 2\|A\| [I - HB(B^*B)^{-1}B^*H], \quad (3.11)$$

нужное нам решение которого удовлетворяет граничному условию  $H(0) = 0$ .

Из (3.8) вытекает следующая формула для  $H(T)$ :

$$H(T) = \Lambda - 2e^{T\|A\|K^*} [(\Lambda^{-1} - R) + e^{T\|A\|K} (\Lambda^{-1} + R) e^{T\|A\|K^*}]^{-1} e^{T\|A\|K}. \quad (3.12)$$

Как было показано выше,  $H(T) = H^*(T) = -Y(0, T)$  — строго возрастающая с ростом  $T$  положительно определенная матрица, которая при  $T \rightarrow \infty$  стремится к  $\Lambda$ :

$$\lim_{T \rightarrow \infty} H(T) = \Lambda.$$

Из (3.12), воспользовавшись неравенствами (см. (1.17), (2.9)):

$$[(\Lambda^{-1} - R) + e^{T\|A\|K} (\Lambda^{-1} + R) e^{T\|A\|K^*}] \geq \Lambda^{-1} - R \geq \frac{1}{\|\Lambda\|^3 \left(1 + \frac{1}{2\|\Lambda\|}\right)} I,$$

$$\|e^{T\|A\|K}\| = \|e^{T\|A\|K^*}\| \leq \sqrt{2}\|\Lambda\| \sqrt{1 + \frac{1}{2\|\Lambda\|}} e^{-\frac{T\|A\|}{\|\Lambda\|}},$$

легко выводится оценка

$$\|\Lambda - H(T)\| \leq 4\|\Lambda\|^4 \left(1 + \frac{1}{2\|\Lambda\|}\right)^2 e^{-\frac{2T\|A\|}{\|\Lambda\|}} \quad (3.13)$$

скорости убывания нормы разности  $\Lambda - H(T)$  с ростом  $T$ .

Уравнение (3.11) носит название матричного дифференциального уравнения Риккати. Проведенное выше исследование его решения  $H(T)$  основывалось на том, что алгебраическое уравнение Лурье — Риккати (1.4):

$$\Lambda A + A^* \Lambda + 2\|A\| [I - \Lambda B (B^*B)^{-1} B^* \Lambda] = 0$$

имеет неотрицательно определенное решение  $\Lambda$ , т. е. на том, что матричная пара  $(A, B)$  стабилизируема. Все полученные для  $H(T)$  оценки выражаются через  $\|\Lambda\|$  или на основании неравенства

$$\|\Lambda\| \leq \frac{1 + \sqrt{5}}{2 \text{stab}[A, B]}$$

— через качество стабилизируемости  $\text{stab}[A, B]$ . Аналогичное (3.11) дифференциальное уравнение Риккати используется для построения так называемого фильтра Калмана — Бюсси, о котором пойдет речь в следующем параграфе при обсуждении понятий детектируемости и наблюдаемости. Мы здесь подробно осветили хорошо известные свойства решений дифференциального уравнения Риккати из методических соображений.

#### § 4. ДЕТЕКТИРУЕМОСТЬ, НАБЛЮДАЕМОСТЬ, УПРАВЛЯЕМОСТЬ

Изучение проблемы фильтрации результатов измерения для получения информации о наблюдаемом процессе обычно начинается со следующей модели. Пусть  $x(t)$  управляется векторным уравнением

$$\frac{dx}{dt} = Ax(t) + f(t) + 2\|A\|\xi(t), \quad (4.1)$$

в правой части которого стоит «случайная» функция  $\xi(t)$  (помеха) из распределения типа белого шума, характеризуемого несмещенностью, т. е. нулевым математическим ожиданием при любом  $t$ , взаимной независимостью  $\xi(t_1)$  и  $\xi(t_2)$  при  $t_1 \neq t_2$ , и независящей от времени ковариационной матрицей, символически записываемой в виде

$$E[\xi(t_1), \xi^*(t_2)] = \delta(t_1 - t_2)Q.$$

Наблюдение над  $x(t)$  состоит в рассмотрении вектора

$$\frac{d}{dt}y(t) = (CC^*)^{-\frac{1}{2}}Cx(t) + \eta(t). \quad (4.2)$$

Через  $\eta(t)$  обозначена аналогичная  $\xi(t)$  случайная функция с нулевым математическим ожиданием, для которой

$$E[\eta(t_1), \eta^*(t_2)] = \delta(t_1 - t_2)R.$$

Мы здесь используем не непосредственный результат измерения  $Cx(t)$ , а полученный его нормировкой вектор  $(CC^*)^{-\frac{1}{2}}Cx(t)$ , представляющий из себя кратчайший в евклидовой метрике отрезок между одной из точек «ненаблюдаемой» плоскости  $Cx = 0$  и концом вектора  $x$ .

Процедура фильтрации состоит в решении уравнения

$$\frac{d}{dt}\hat{x} = \hat{A}\hat{x} + f(t) + 2\|A\|L(t)\left[\frac{d}{dt}y(t) - (CC^*)^{-\frac{1}{2}}C\hat{x}(t)\right] \quad (4.3)$$

со специально подбираемой матрицей усиления  $L(t)$  так, что ошибка оценивания  $z(t) = \hat{x}(t) - x(t)$  описывается уравнением

$$\frac{d}{dt}z(t) = \left[A - 2\|A\|L(t)(CC^*)^{-\frac{1}{2}}C\right]z(t) + 2\|A\|[\xi(t) - L(t)\eta(t)]. \quad (4.4)$$

Матрица усиления  $L(t)$  подбирается так, чтобы обеспечить при каждом  $t$  наименьший из возможных след для ковариационной матрицы ошибки оценивания  $E[z(t)z^*(t)] = s(t)$ . Эта схематически здесь намеченная процедура носит название фильтрации Калмана — Бюсси (см. [9, 10]). Оказывается, что при такой фильтрации мы должны выбрать  $L(t)$  в виде

$$L(t) = M(t)C^*(CC^*)^{-\frac{1}{2}}R^{-1}, \quad (4.5)$$

где  $M(t)$  — решение дифференциального матричного уравнения Риккати:

$$\frac{d}{dt}M = AM + MA^* - 2\|A\|\left[MC^*(CC^*)^{-\frac{1}{2}}R^{-1}(CC^*)^{-\frac{1}{2}}CM - Q\right]. \quad (4.6)$$

Начальное значение  $M(0)$  выбирается равным нулю  $M(0) = 0$ , если  $x(0)$  известно точно и положено  $\hat{x}(0) = x(0)$ . При этом  $M(t)$  будет совпадать с экстремальной  $S(t)$ , т. е. с  $S(t)$ , имеющей наименьший из возможных след  $\text{tr } S(t)$ .

Пара матриц  $(A, C)$  называется детектируемой, если при положительно определенных  $Q, R$  у алгебраического уравнения Лурье — Риккати:

$$AM_\infty + M_\infty A^* + 2\|A\|\left[Q - M_\infty C^*(CC^*)^{-\frac{1}{2}}R^{-1}(CC^*)^{-\frac{1}{2}}CM_\infty\right] = 0 \quad (4.7)$$

существует положительно определенное решение  $M_\infty$ . В этом случае решение дифференциального уравнения (4.6) с начальным условием  $M(0) = 0$  существует для всех  $t > 0$  и при  $t \rightarrow +\infty$  стремится к постоянной матрице  $M_\infty$  — к решению уравнения (4.7).

Степень детектируемости пары  $(A, C)$  предлагается характеризовать нормой  $\|M_\infty\|$  положительно определенного решения уравнения Лурье — Риккати

$$AM_\infty + M_\infty A^* + 2\|A\| [I - M_\infty C^* (CC^*)^{-1} CM_\infty] = 0, \quad (4.8)$$

которое отвечает специально выбранным модельным  $R, Q$ :  $R = I, Q = I$ . Уравнение (4.8) только обозначениями отличается от изучавшегося в § 1, 2 уравнения Лурье — Риккати:

$$\Lambda A + A^* \Lambda + 2\|A\| [I - \Lambda B (B^* B)^{-1} B^* \Lambda] = 0. \quad (4.9)$$

Соответствующие переобозначения таковы:

$$M_\infty \leftrightarrow \Lambda; A \leftrightarrow A^*; C^* \leftrightarrow B.$$

Это обстоятельство обычно формулируется в виде принципа двойственности: детектируемость пары  $(A, C)$  эквивалентна стабилизируемости пары  $(A^*, C^*)$ .

Пусть  $M_0$  — это единственное положительно определенное решение матричного уравнения

$$AM_0 + M_0 A^* + 2\|A\| [I - M_0^2] = 0. \quad (4.10)$$

Числовую характеристику степени детектируемости пары  $(A, C)$  определим формулой

$$\text{dтс} [A, C] = \begin{cases} \frac{\|M_0\|}{\|M_\infty\|}, & \text{если положительно определенное решение} \\ & \text{уравнения (4.8) существует,} \\ 0 & \text{— в противном случае.} \end{cases} \quad (4.11)$$

Это определение полностью аналогично приведенному в § 1 определению числовой характеристики стабилизируемости  $\text{stab} [A, B]$  и связано с ней соотношением

$$\text{dтс} [A, C] = \text{stab} [A^*, C^*]. \quad (4.12)$$

В частности, отсюда следует, что  $\text{dтс} [A, C] \leq 1$ . Так как уравнение (4.10) для  $M_0$  отличается от уравнения (1.7) для  $\Lambda_0$  лишь обозначениями, то для  $\|M_0\|$  выполнены аналогичные (1.6), (1.8) оценки:

$$\frac{1 + \sqrt{5}}{2} \geq \|M_0\| \geq \frac{1}{2},$$

в силу которых

$$\frac{\sqrt{5} + 1}{2 \text{dтс} [A, C]} \leq \|M_\infty\| \leq \frac{2}{\text{dтс} [A, C]}. \quad (4.13)$$

Решение дифференциального уравнения Риккати (4.6), в котором положено  $R = Q = I$ , при  $t \rightarrow \infty$ , как уже отмечалось, стремится к пределу  $M_\infty$ . В частности, это следует из рассмотрений конца § 3 (с учетом соответствующих переобозначений). Применяв к нашему случаю оценку (3.13), мы получим, что

$$\|M_\infty - M(t)\| \leq 4 \|M_\infty\|^4 \left(1 + \frac{1}{2 \|M_\infty\|}\right)^2 e^{-\frac{2T \|A\|}{\|M_\infty\|}}. \quad (4.14)$$

Наряду с понятиями стабилизируемости и детектируемости матричных пар  $(A, B)$ ,  $(A, C)$  широко используются также понятия управляемости и наблюдаемости. Пара  $(A, B)$  управляема, если линейная оболочка

столбцов составной матрицы

$$[B : AB : A^2B : \dots : A^{N-1}B]$$

имеет максимально возможный ранг  $N$ . Пара  $(A, B)$  стабилизируема, если та же линейная оболочка содержит все инвариантные для  $A$  корневые подпространства, отвечающие всем точкам спектра, не лежащим строго в левой полуплоскости. Поэтому пара  $(A, B)$  управляема тогда и только тогда, когда стабилизируемы обе пары  $(A, B)$ ;  $(-A, B)$ . Точно так же, пара  $(A, C)$  наблюдаема, если детектируемы обе пары  $(A, C)$ ;  $(-A, C)$ . Количественные характеристики управляемости  $\text{contr}[A, B]$  и наблюдаемости  $\text{obs}[A, C]$  поэтому естественно определить так:

$$\text{contr}[A, B] = \min \{ \text{stab}[A, B], \text{stab}[-A, B] \} \quad (4.15)$$

$$\text{obs}[A, C] = \min \{ \text{dte}[A, C], \text{dte}[-A, C] \}.$$

Важно отметить, что все четыре предлагаемые характеристики  $\text{stab}[A, B]$ ,  $\text{contr}[A, B]$ ,  $\text{dte}[A, C]$ ,  $\text{obs}[A, C]$  матричных пар рассчитываются при помощи одной и той же вычислительной процедуры.

### § 5. АЛГОРИТМ РЕШЕНИЯ КВАДРАТНОГО МАТРИЧНОГО УРАВНЕНИЯ

Начнем с напоминания, что в § 2 (см. (2.2)) мы обозначили через  $\mathcal{H}$  гамильтонову матрицу (см. 2.2)):

$$\mathcal{H} = \begin{bmatrix} A & 2\|A\|B(B^*B)^{-1}B^* \\ 2\|A\|I & -A^* \end{bmatrix} \quad (5.1)$$

так, что  $\|\mathcal{H}\| \leq 3\|A\|$ . Положив

$$\Psi = e^{-\tau\mathcal{H}}, \quad \Phi = \begin{bmatrix} -I_N & 0 \\ 0 & -I_N \end{bmatrix}, \quad (5.2)$$

образуем бесконечную систему уравнений

$$e^{-\tau\mathcal{H}} z_{q+1} - z_q = \zeta_q,$$

которую нам удобно записывать в виде

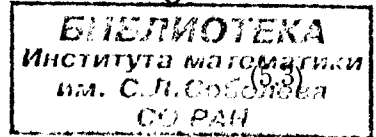
$$\Phi z_q + \Psi z_{q+1} = \zeta_q. \quad (5.4)$$

Неизвестными в этой системе являются  $2N$ -мерные векторы  $z_q$ , а правыми частями — векторы той же размерности  $\zeta_q$ . В настоящем параграфе мы все время будем предполагать, что пара  $(A, B)$  стабилизируема. Из этого предположения вытекает отсутствие у  $\mathcal{H}$  чисто мнимых собственных значений, благодаря чему при ограниченных  $\zeta_q$  ( $\|\zeta_q\| \leq \text{const}$ ) существует и единственно ограниченное ( $\|z_q\| \leq \text{const}$ ) решение системы (5.4) или (5.5). С помощью матрицы Грина

$$G(t) = \begin{bmatrix} G_{11}(t) & G_{12}(t) \\ G_{21}(t) & G_{22}(t) \end{bmatrix},$$

являющейся (см. (2.10)) стремящимся к нулю при  $t \rightarrow \pm \infty$  решением матричного дифференциального уравнения

$$\frac{d}{dt} G(t) = \mathcal{H}G(t) + \delta(t) I_{2N},$$



нетрудно построить представление ограниченных решений системы (5.3) или, в других обозначениях, (5.4):

$$z_q = G(-0) \zeta_q + \sum'_{\substack{p=-\infty \\ p \neq 0}}^{p=+\infty} G((p-q)\tau) \zeta_p.$$

Удобно положить

$$\tilde{G}(t) = G(t-0) = \begin{cases} G(-0) & (t=0), \\ G(t) & (t \neq 0) \end{cases} \quad (5.5)$$

и использовать для решения уравнений (5.4) формулу

$$z_q = \sum_{p=-\infty}^{p=+\infty} \tilde{G}((q-p)\tau) \zeta_p. \quad (5.6)$$

Решая систему уравнений с матричными неизвестными  $Z_q$

$$\Phi Z_q + \Psi Z_{q+1} = \delta(q) I_{2N} \quad (5.7)$$

и отыскивая при этом ограниченные решения, мы, очевидно, получим

$$Z_0 = \tilde{G}(0) \equiv G(-0). \quad (5.8)$$

Напомним (см. (2.13)), что, зная  $G(-0)$ , мы уже без труда сумеем вычислить положительно определенное решение  $\Lambda$  квадратного матричного уравнения (1.4):

$$\Lambda A + A^* \Lambda + 2\|A\| [I - \Lambda B(B^*B)^{-1}B^* \Lambda] = 0.$$

Одна из трудностей, с которыми мы сталкиваемся при решении уравнений (5.7), состоит в том, что этих уравнений бесконечное число, и прежде, чем пытаться их решать, нужно (5.7) заменить конечной системой с близкими решениями. Для этого удобно использовать уравнения с периодическими правыми частями, решения которых тоже будут периодическими.

Пусть в системе (5.4) правые части и решения периодические:

$$\zeta_q = \zeta_{q+(2 \cdot 2^l+1)}, \quad z_q = z_{q+(2 \cdot 2^l+1)},$$

и будем эти решения и правые части считать векторами  $(2 \cdot 2^l + 1) \cdot 2N$ -мерных евклидовых пространств с нормами:

$$\sqrt{\sum_{-2^l}^{+2^l} \|\zeta_q\|^2}, \quad \sqrt{\sum_{-2^l}^{+2^l} \|z_q\|^2}.$$

Удобно обозначить через  $z$  составной вектор, составленный из векторных компонент  $z_q (-2^l \leq q \leq 2^l)$  и, аналогично, через  $\zeta$  — вектор, образованный векторными компонентами  $\zeta_q$  с теми же индексами. Матрицу системы (5.4), переводящую  $z$  в  $\zeta$ , обозначим через  $\mathcal{F}$  ( $\mathcal{F}z = \zeta$ ). Легко убедиться, что

$$\|\mathcal{F}\| \leq \max \begin{cases} \|\Phi\| + \|\Psi\| = \|\Psi\| + 1, \\ \|\Phi^*\| + \|\Psi^*\| = \|\Phi\| + \|\Psi\| = \|\Psi\| + 1 \end{cases}$$

и пользуясь (5.2), обосновать неравенство

$$\|\mathcal{F}\| \leq 1 + e^{3\tau\|A\|}. \quad (5.9)$$

Пользуясь периодичностью правых частей, можно формулу (5.6) преобразовать к виду

$$z_q = \sum_{p=-2^l}^{p=2^l} \tilde{G}_{q-p}^{(l)} \zeta_p, \quad (5.10)$$



в котором при  $-2^l \leq r \leq 2$

$$\begin{aligned} \tilde{G}_r^{(l)} = \sum_{s=-\infty}^{s=+\infty} G \{ [r + s(2 \cdot 2^l + 1)] \tau \} = \tilde{G}(r\tau) + \sum_{s=1}^{\infty} \tilde{G} \{ [r + s(2 \cdot 2^l + 1)] \tau \} + \\ + \sum_{s=1}^{\infty} \tilde{G} \{ [r - s(2 \cdot 2^l + 1)] \tau \}. \end{aligned} \quad (5.11)$$

Пользуясь оценкой (2.12) для  $\|G(t)\|$ , устанавливаем, что

$$\tilde{G}_r^{(l)} - \tilde{G}(r\tau) \leq 4\sqrt{2} \|\Lambda\|^4 \left(1 + \frac{1}{\|\Lambda\|^2}\right) \left(1 + \frac{1}{2\|\Lambda\|}\right)^{\frac{3}{2}} \frac{e^{-(2^l+1)\tau\|\Lambda\|/\|\Lambda\|}}{1 - e^{-2(2^l+1)\tau\|\Lambda\|/\|\Lambda\|}} \quad (5.12)$$

и что

$$\begin{aligned} \sum_{r=-2^l}^{r=2^l} \|\tilde{G}_r^{(l)}\| \leq \sum_{r=-\infty}^{r=+\infty} \|\tilde{G}(r\tau)\| + \\ + 4\sqrt{2} \|\Lambda\|^4 \left(1 + \frac{1}{\|\Lambda\|^2}\right) \left(1 + \frac{1}{2\|\Lambda\|}\right)^{\frac{3}{2}} \frac{(2 \cdot 2^l + 1) e^{-(2^l+1)\tau\|\Lambda\|/\|\Lambda\|}}{1 - e^{-2(2^l+1)\tau\|\Lambda\|/\|\Lambda\|}}. \end{aligned} \quad (5.13)$$

При помощи (2.12), (2.20), (5.5) оценивается первое слагаемое (сумма) в (5.13):

$$\begin{aligned} \sum_{r=-\infty}^{r=+\infty} \|\tilde{G}(r\tau)\| \leq 2\|\Lambda\|^2 \left(1 + \frac{1}{2\|\Lambda\|}\right) \left(1 + \frac{1}{\|\Lambda\|^2}\right) + \\ + 4\sqrt{2} \|\Lambda\|^4 \left(1 + \frac{1}{2\|\Lambda\|}\right)^{\frac{3}{2}} \left(1 + \frac{1}{\|\Lambda\|^2}\right) \frac{e^{-\tau\|\Lambda\|/\|\Lambda\|}}{1 - e^{-\tau\|\Lambda\|/\|\Lambda\|}}. \end{aligned} \quad (5.14)$$

Оценками (5.9), (5.13), (5.14) удобно пользоваться, выбирая  $\tau = m/\|\Lambda\|$  (например, положив  $m = \frac{1}{2}$  или  $m = \frac{1}{5}$ ). При этом оказывается, что

$\sum_{r=-2^l}^{r=2^l} \|\tilde{G}_r^{(l)}\|$  при достаточно больших  $l$  оценивается только через  $\|\Lambda\|$ , тогда как  $\|\mathcal{F}\|$  ограничена сверху абсолютной постоянной.

Пользуясь представлением (5.10), несложно оценить  $\|\mathcal{F}^{-1}\|$  — норму оператора, переводящего правые части  $\zeta_q$  в решение  $z_q$ . При этом получается оценка

$$\|\mathcal{F}^{-1}\| \leq \sum_{p=-2^l}^{p=+2^l} \|\tilde{G}_p^{(l)}\|. \quad (5.15)$$

Отсюда ясно, что при фиксированном  $m$  и при достаточно большом  $l$  удается обусловленность  $\|\mathcal{F}\| \cdot \|\mathcal{F}^{-1}\|$  системы (5.4) с периодическими правыми частями оценить только через  $\|\Lambda\|$ . (С ростом  $\|\Lambda\|$  система становится хуже обусловленной).

Приступим теперь к описанию схемы, по которой можно провести решение системы с периодическими правыми частями. Интересующие нас уравнения имеют следующий вид:

$$\Phi z_{2^l+1} + \Psi z_0 = \zeta_0, \quad (5.16)$$

$$\Phi z_q + \Psi z_{q+1} = 0 \quad (q = 0, 1, \dots, 2^{l+1} - 1). \quad (5.17)$$

Идея, положенная в основу алгоритма, состоит в исключении из однородных уравнений (5.17) всех промежуточных неизвестных с индексами  $1, 3, 5, \dots, 2^{l+1} - 1$  с помощью ортогональных преобразований уравнений.

В результате такого исключения получаются новые уравнения

$$\widehat{\Phi}z_q + \widehat{\Psi}z_{q+1} = 0, \quad (5.18)$$

неизвестные в которых совпадают с частью неизвестных первоначальной системы:

$$\widehat{z}_q = z_{2q} \quad (q = 0, 1, 2, \dots, 2^l - 1). \quad (5.19)$$

Процесс исключения проводится следующим образом. Объединяя два последовательных матричных уравнения из (5.17) с учетом переобозначений (5.19), мы получаем уравнение с составной матрицей

$$\begin{bmatrix} \Psi & \Phi & 0 \\ \Phi & 0 & \Psi \end{bmatrix} \begin{bmatrix} z_{2q+1} \\ \widehat{z}_q \\ \widehat{z}_{q+1} \end{bmatrix} = \begin{bmatrix} 0 \\ 0 \\ 0 \end{bmatrix}. \quad (5.20)$$

Затем подбирается ортогональное преобразование  $\mathcal{P}$ , которое, действуя слева на составную матрицу коэффициентов в левой части (5.20), преобразует ее к следующему виду,

$$\begin{bmatrix} \text{diag} & & \\ & \widehat{\Phi} & \\ & & \widehat{\Phi} \end{bmatrix}$$

в котором клетки  $\widehat{\Phi}$ ,  $\widehat{\Psi}$  как раз и будут коэффициентами полученного в результате исключения уравнения (5.18). Подбор ортогонального  $\mathcal{P}$  осуществляется в виде произведения ортогональных отражений таким же образом, как это делается в широко распространенной процедуре вычислительной линейной алгебры. Эта процедура носит название  $QR$ -разложения.

У полученных в результате исключения уравнений (5.18) опять исключим новые четные неизвестные и т. д. до тех пор, пока не приходим к уравнению

$$\widehat{\Phi}z_0 + \widehat{\Psi}z_{2^l+1} = 0, \quad (5.21)$$

являющемуся следствием (5.17) и связывающему только крайние неизвестные векторы с индексами 0,  $2^l+1$ . Для этого придется осуществить исключение  $l$  раз. Теперь из уравнений (5.16), (5.21) образуем составную систему

$$\begin{bmatrix} \Phi & \Psi \\ \widehat{\Psi} & \widehat{\Phi} \end{bmatrix} \begin{bmatrix} z_{2^l+1} \\ z_0 \end{bmatrix} = \begin{bmatrix} \xi_0 \\ 0 \end{bmatrix} \quad (5.22)$$

и подберем, опять-таки с помощью  $QR$ -разложения, левый ортогональный множитель, умножение на который приводит (5.22) к треугольному виду

$$\begin{bmatrix} \text{diag} & & \\ & \Theta & \\ & & \omega \end{bmatrix} \begin{bmatrix} z_{2^l+1} \\ z_0 \end{bmatrix} = \begin{bmatrix} * \\ \omega \end{bmatrix} \equiv U \begin{bmatrix} \xi_0 \\ 0 \end{bmatrix},$$

из которого выделяется подсистема

$$\Theta z_0 = \omega \quad (5.23)$$

с треугольной матрицей коэффициентов  $\Theta$ , позволяющая без труда вычислить нужное нам  $z_0$ . Важно отметить, что  $\Theta$  представляет собой главный минор некоторой матрицы, полученной умножением слева на ортогональное преобразование исходной матрицы  $\mathcal{F}$  коэффициентов системы, составленной из (5.16), (5.17), и поэтому обусловленность  $\|\Theta\| \|\Theta^{-1}\|$  си-

стемы (5.23) не превышает  $\|\mathcal{F}\|\|\mathcal{F}^{-1}\|$ . Быше было показано, что  $\|\mathcal{F}\|\|\mathcal{F}^{-1}\|$  оценивается через  $\|\Lambda\|$ .

Таким образом, если при осуществлении описанного алгоритма окажется, что решить уравнения (5.23) не удастся из-за плохой обусловленности, то в этом случае можно ручаться, что либо  $\|\Lambda\|$  очень велика, либо положительно определенного решения  $\Lambda$  у уравнения (1.4) не существует. Иными словами, в этом случае пара  $(A, B)$  либо очень плохо стабилизируема, либо не стабилизируема.

Остановимся кратко на использовании описанной процедуры при расчете  $G(0) \equiv G(-0)$ , т. е. при решении уравнений (5.7) с матричной правой частью. В этом случае вместо вектора  $\xi_0$  в правой части (5.16) мы должны использовать единичную матрицу  $I_{2N}$ , считать неизвестные  $Z_{2^{l+1}}$ ,  $Z_0$  квадратными матрицами, а систему (5.22) записывать так:

$$\begin{bmatrix} \Phi & \Psi \\ \tilde{\Psi} & \tilde{\Phi} \end{bmatrix} \begin{bmatrix} Z_{2^{l+1}} \\ Z_0 \end{bmatrix} = \begin{bmatrix} I_{2N} \\ 0 \end{bmatrix}. \quad (5.24)$$

После умножения этой системы слева на  $U$ , подобранное как указано выше, она принимает вид:

$$\begin{bmatrix} \text{diag} & \text{diag} \\ 0 & \theta \end{bmatrix} \begin{bmatrix} Z_{2^{l+1}} \\ Z_0 \end{bmatrix} = \begin{bmatrix} \text{diag} \\ \Omega \end{bmatrix} \equiv U \begin{bmatrix} I_{2N} \\ 0 \end{bmatrix}. \quad (5.25)$$

После этого  $G(-0) \approx Z_0$  найдется по формуле

$$G(-0) \approx \Theta^{-1}\Omega. \quad (5.26)$$

Выбором достаточно большого  $l$  можно обеспечить высокую точность расчета  $G(-0)$ . Вычислив  $G(-0)$ :

$$G(-0) = \begin{bmatrix} G_{11}(-0) & G_{12}(-0) \\ G_{21}(-0) & G_{22}(-0) \end{bmatrix},$$

образуем (см. (2.13)) составные матрицы

$$\mathcal{G}_2 = \begin{bmatrix} G_{12}(-0) \\ G_{22}(-0) \end{bmatrix}; \quad \mathcal{G}_1 = \begin{bmatrix} G_{11}(-0) \\ G_{21}(-0) \end{bmatrix},$$

с помощью которых строится переопределенная система для расчета  $\Lambda$ :

$$\mathcal{G}_2\Lambda = \mathcal{G}_1. \quad (5.27)$$

Если  $G_{ik}(-0)$  удалось вычислить с малой погрешностью, то и система (5.27) будет практически совместной.

#### СПИСОК ЛИТЕРАТУРЫ

1. Годунов С. К. Количественная характеристика основных понятий теории управления // ПМТФ.— 1989.— № 2.— С. 49—52.
2. Малышев А. Н. Вычисление инвариантных подпространств регулярного пучка матриц.— Новосибирск, 1988.— 20 с.— (Препринт/АН СССР. Сиб. отд-ние. Ин-т математики; № 6).
3. Малышев А. Н. Гарантированная точность в спектральных задачах линейной алгебры // Тр. Ин-та математики СО АН СССР.— 1990.— Т. 6: Вычислительные методы линейной алгебры.— С. 19—194.
4. Roberts J. D. (1971). Report CUED/B— control/TR-13 Engineering Dep. Cambridge University.
5. Roberts J. D. Linear model reduction and Solution of the algebraic Riccati equation by use of the sign-function // Intern. J. Contr.— 1980.— Vol. 32, N 4.— P. 677—687.
6. Алиев Ф. А. Методы решения прикладных задач оптимизации динамических систем.— Баку: ЭЛМ, 1989.— 320 с.

7. Уонем М. Линейные многомерные системы управления.— М.: Наука, 1980.— 376 с.
8. Беккенбах Э., Беллман Р. Неравенства.— М.: Мир, 1965.— 276 с.
9. Bucy R. S., Joseph P. D. Filtering for stochastic process with applications to guidance.— New York: Wiley Interscience, 1968.
10. Брамер К., Зиффлинг Г. Фильтр Калмана — Бюсси.— М.: Наука, 1982.— 200 с.
11. Булгаков А. Я. Эффективно вычисляемый параметр качества устойчивости систем линейных дифференциальных уравнений с постоянными коэффициентами // Сиб. мат. журн.— 1980.— Т. 21, № 3.— С. 32—41.
12. Булгаков А. Я., Годунов С. К. Расчет положительно определенных решений уравнения Ляпунова // Тр. Ин-та математики СО АН СССР.— 1985.— Т. 6: Вычислительные методы линейной алгебры.— С. 19—104.

А. М. БЛОХИН, А. А. ПОЗДЕЕВ, В. Р. ЦИМЕРМАН

## МЕТОД ПРЯМЫХ ДЛЯ УРАВНЕНИЙ ГАЗОВОЙ ДИНАМИКИ: ТЕОРЕТИЧЕСКОЕ ОБОСНОВАНИЕ И ВЫЧИСЛИТЕЛЬНЫЕ ЭКСПЕРИМЕНТЫ

В настоящей работе для нахождения приближенных решений уравнений газовой динамики предлагается так называемая **дифференциально-разностная вычислительная модель**, которая в конечном итоге сводится к краевой задаче для системы обыкновенных дифференциальных уравнений (в конкретных расчетах эта система решается методом ортогональной прогонки).

В § 1—3 дается теоретическое обоснование предложенной вычислительной модели на примере **линейной смешанной задачи** для системы уравнений акустики с граничными условиями на ударной волне (теоретическое обоснование предложенной вычислительной модели в случае двух границ дано в работе А. М. Блохина и В. Р. Цимермана «Исследование дифференциально-разностной модели линейной смешанной задачи о сверхзвуковом обтекании клина», помещенной в этих же трудах).

Остальная часть работы посвящена вычислительным экспериментам. В качестве примера выбрана задача об обтекании бесконечного кругового конуса сверхзвуковым потоком идеального газа (это стационарное решение уравнений газовой динамики находится методом установления). С помощью предложенной вычислительной модели находится приближенное решение этой задачи. Результаты численных расчетов сравниваются с расчетами других авторов.

### § 1. ПРЕДВАРИТЕЛЬНЫЕ СВЕДЕНИЯ

Рассматривается смешанная задача для системы уравнений акустики в области  $\Pi = \{(t, x, y) | t > 0, (x, y) \in R_+^2\}$ :

$$AU_t + BU_x + CU_y = 0,$$

с граничными условиями при  $t > 0, x = 0, y \in R$ :

$$u + dp = 0, v_t + \omega v_y - \lambda p_y = 0$$

и с начальными данными при  $t = 0$ :

$$(0, x, y) = U_0(x, y), (x, y) \in R_+^2.$$

Здесь

$$R_+^2 = \{(x, y) | x > 0, y \in R\};$$